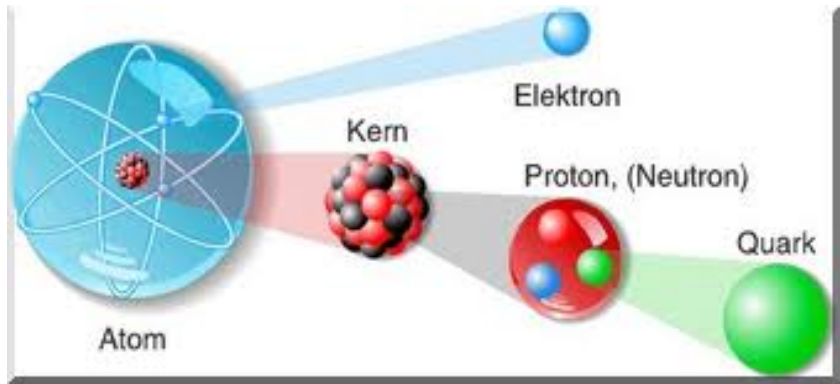


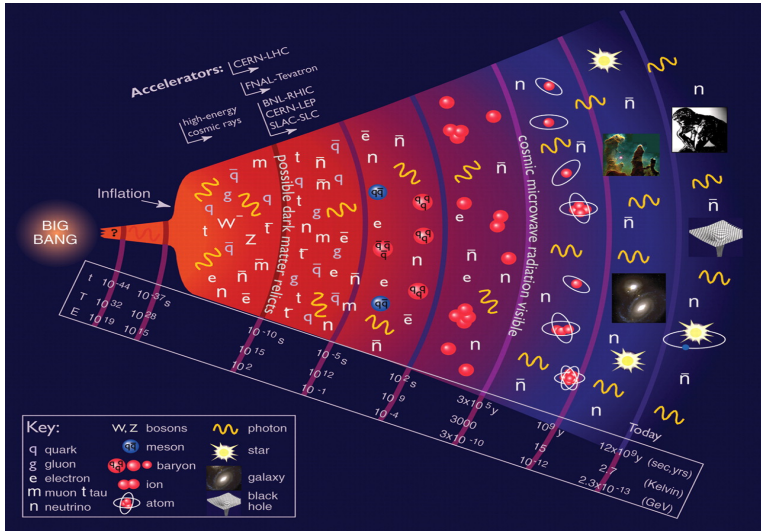
Propiedades corpusculares de la radiación electromagnética

Fernando Barreiro

Universidad Autónoma de Madrid

Fundamentos Física III



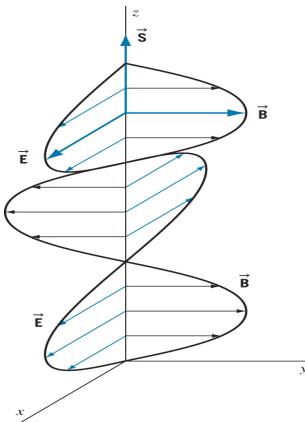


- En Fisica clásica se hace una clara distinción entre los fenómenos ondulatorios y los corpusculares
- A principios del siglo XX sin embargo se establece la dualidad onda-particula.
- Vamos a empezar por discutir la evidencia experimental en favor de la naturaleza corpuscular de la luz
 - Efecto fotoeléctrico
 - Efecto Compton
 - Producción de pares electron-positrón ($e^- e^+$)
 - Radiacion térmica
- Antes recordemos características ondas e.m. : interferencia, difracción, difracción por cristales

- Campo e.m. viene determinado por campos \vec{E} y \vec{B}
- Ej: $\vec{E} = \frac{1}{4\pi\epsilon_0} \frac{q}{r^2} \hat{e}_r$ es el campo creado por carga puntual a distancia r
- Ej: $\vec{B} = \frac{\mu_0 I}{2\pi r} \hat{e}_\phi$ es el campo creado por corriente longitudinal I a distancia r
- Si las cargas son aceleradas y/o la corriente varia con $t \Rightarrow$ se produce una onda e.m. : los campos \vec{E} y \vec{B} adquieren dependencia adicional en t
- Dependiendo del caso la onda puede ser plana o esférica
- Ej: Onda plana según OZ : $\vec{E} = \vec{E}_0 \sin(kz - \omega t)$; $\vec{B} = \vec{B}_0 \sin(kz - \omega t)$
- $\lambda = \frac{2\pi}{k}$; $\omega = 2\pi\nu$; $c = \lambda\nu = \omega/k$.
- Polarización de la onda dada por \vec{E}_0 con $\vec{E} \times \vec{B} = OZ$ y $B_0 = E_0/c$.
- En nuestro ejemplo si $\vec{E} \parallel OX \Rightarrow \vec{B} \parallel OY$
- Onda e.m. transmite energía de un punto a otro : flujo viene dado por vector de Poynting \vec{S}
- $\vec{S} = \frac{1}{\mu_0} \vec{E} \times \vec{B} = \frac{1}{\mu_0} E_0 B_0 \sin^2(kz - \omega t) \vec{k}$; $[\vec{S}] = W/m^2$

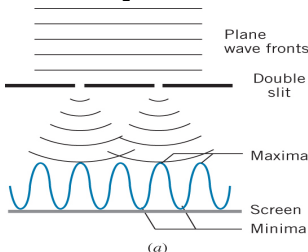
Recordatorio ondas electromagnéticas

- Coloquemos detector radiación e.m. \perp dirección propagación onda
- Potencia absorbida receptor normal a OZ de area A :
$$P = S \cdot A = \frac{1}{\mu_0} E_0 B_0 A \sin^2(kz - \omega t) = \frac{1}{c\mu_0} E_0^2 A \sin^2(kz - \omega t)$$
- Intensidad : $I = \frac{1}{c\mu_0} E_0^2 \cdot \sin^2(kz - \omega t)$: prop. E_0^2 y frecuencia $\nu = \frac{\omega}{2\pi}$
- $\nu \sim 10^{15} \text{ Hz}$ para luz visible. Si tiempo obs. T ($T \sim 10^{-2} \text{ s ojo humano}$)
- $\langle I \rangle = 1/T \int_0^T I \cdot dt = \frac{1}{2c\mu_0} E_0^2$

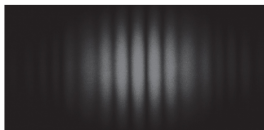


Recordatorio ondas electromagnéticas: Interferencia y difracción

- propiedad genuina mov. ondulatorio : principio superposición, permite entender como dos ondas se encuentran en un punto \Rightarrow otra onda distinta de las incidentes \Rightarrow fenómenos de interferencia y difracción.
- ejemplo más sencillo de interferencia, experimento doble rendija de Young : onda incidente se difracta en cada rendija cubriendo en pantalla área >> sombra de la rendija. Interferencia puede ser:
 - constructiva : $|X_1 - X_2| = n\lambda$, $n = 0, 1, 2, \dots$
 - destructiva : $|X_1 - X_2| = (n + \frac{1}{2})\lambda$, $= 0, 1, 2, \dots$



(a)

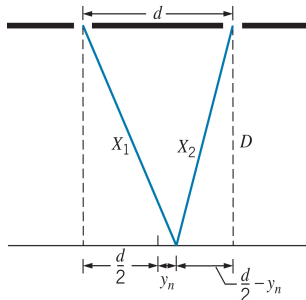


(b)

Recordatorio ondas e.m.: Doble rendija de Young

$$y(t) = A \cos \omega \left(t - \frac{X_1}{c} \right) + A \cos \omega \left(t - \frac{X_2}{c} \right) = 2A \cos \omega \left(t - \frac{X}{c} \right) \cos \frac{\omega}{2c} (X_1 - X_2) \quad (1)$$

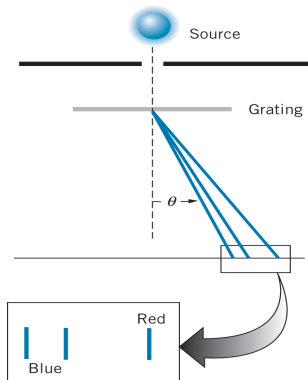
$$y(t) = 2A \cos \omega \left(t - \frac{X}{c} \right) \cos \frac{\omega}{2c} (ds \sin \theta) = 2A \cos \omega \left(t - \frac{X}{c} \right) \cos \frac{\pi ds \sin \theta}{\lambda} \quad (2)$$



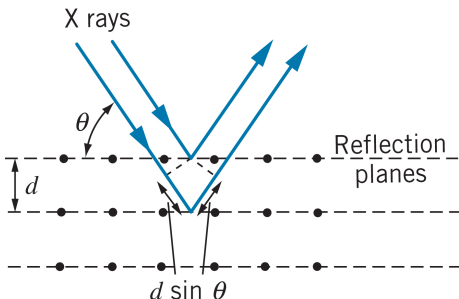
- $X_1^2 = D^2 + (\frac{d}{2} + y_n)^2 ; X_2^2 = D^2 + (\frac{d}{2} - y_n)^2 \Rightarrow y_n = \frac{X_1^2 - X_2^2}{2d} \sim \frac{D(X_1 - X_2)}{d}$
- $D \gg d \Rightarrow X = 0.5(X_1 + X_2) \cong D$ y la amplitud es modulada
- Geometría: $X_1 - X_2 = d \cdot y_n/D ; X_1 - X_2 \sim d \cdot \sin \theta$
- Máximos interferencia : $\pi ds \sin \theta / \lambda = n\pi \Rightarrow \sin \theta_n = n \cdot \frac{\lambda}{d} \Rightarrow y_n = n \cdot \frac{\lambda D}{d}$
- Línea nodal : $\pi ds \sin \theta / \lambda = (2n+1)\frac{\pi}{2} \Rightarrow \sin \theta_n = (n + \frac{1}{2}) \cdot \frac{\lambda}{d}$

Redes de difracción : difracción de rayos X en cristales

- Red difracción: generalización doble rendija Young a **muchas** rendijas
- Máximos asociados a distintos λ s aparecen a ángulos : $d \sin \theta = n \cdot \lambda$
- Aquí d =espaciado red i.e. distancia rendijas consecutivas y $n = 1, 2, 3\dots$
- Quiero $\sin \theta \sim 0.5 \Rightarrow d \sim \text{unas cuantas longitudes de onda}$
- Es λ luz visible $\Rightarrow d \sim 1 \mu\text{m}$: factible mecánicamente
- Para rayos X i.e. $\lambda \sim 0.1 \text{ nm} \Rightarrow d \sim \text{separación atómica}$
- Max von Laue y Lawrence Bragg : desarrollaron difracción por rayos X de estructuras cristalinas en 1915

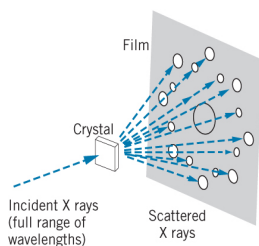
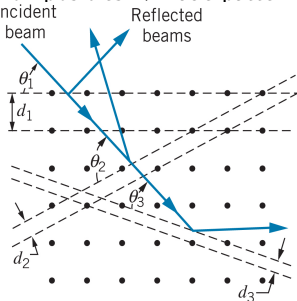


- Sea un haz de rayos X incidente sobre cristal: reflexión del haz por los átomos del cristal
- Supongamos distancia separación dos planos de átomos sea d
- Haz reflejado por el segundo plano recorre distancia $2d \cdot \sin \theta$ mayor que haz reflejado primer plano
- Para interferencia máxima : $2d \cdot \sin \theta = n \lambda$, $n=1,2,3,\dots$:**ley de Bragg**
- Nótese diferencia en factor 2 con la expresión anterior para plano único

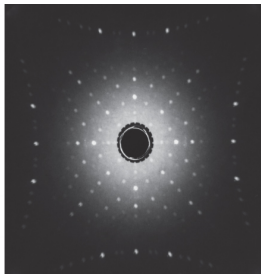


Dispersión rayos X por cristal: Laue patterns

\exists muchos planos de reflexión posibles \Rightarrow Laue patterns



(a)



(b)



(c)

Ejemplo 1 : Irradiamos un muestra de CINa con un haz de rayos X de $\lambda = 0.250 \text{ nm}$. La primera reflexión de Bragg aparece a un ángulo de 26.3° . Determinar el espaciado atómico en el cristal de CINa. Determinar el ángulo de incidencia del haz de rayos X que producirá el segundo pico de Bragg.

Sol:

- $d = \frac{n\lambda}{2\sin\theta} = \frac{0.250 \text{ nm}}{2\sin 26.3^\circ} = 0.282 \text{ nm}$
- $\sin\theta = \frac{n\lambda}{2d} = \frac{0.250 \text{ nm}}{0.282 \text{ nm}} = 0.8865 \Rightarrow \theta = 62.4^\circ$

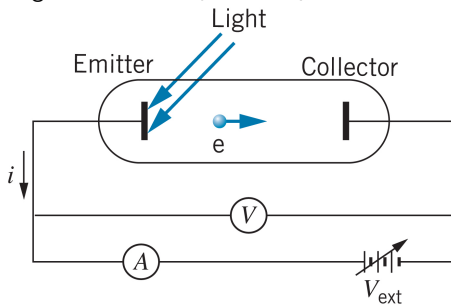
Ejemplo 2 : En un experimento de doble rendija se utiliza luz de Na con $\lambda = 589.0 \text{ nm}$. La separación entre rendijas es de 1.05 mm y la pantalla se encuentra a $D = 2.357 \text{ m}$ de ellas. Determinar la separación entre máximos adyacentes sobre la pantalla.

Sol.:

- $\Delta y = y_{n+1} - y_n = \lambda \frac{D}{d} = 589 \text{ nm} \frac{2.357 \text{ m}}{1.05 \text{ mm}} = 1.32 \text{ mm}$

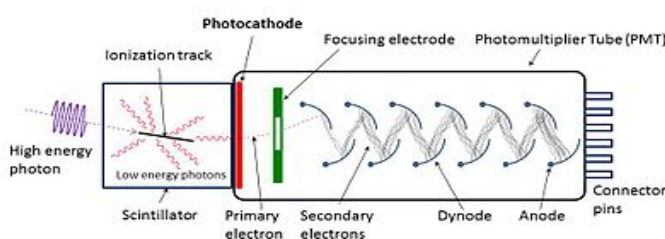
Efecto fotoeléctrico

- Primero de una serie de experimentos que no pueden explicarse mediante teoría ondulatoria de la luz
- Heinrich Hertz 1887: superficie metálica iluminada por luz emite electrones que atraviesan un tubo de vacío para evitar pérdida de energía por colisiones \Rightarrow corriente eléctrica en colector
- Clásicamente: superficie metálica absorbe energía de la fuente luminosa hasta que esta excede energía de enlace: emisión
- Valores típicos: $\Phi(Na) = 2.28 \text{ eV}$, $\Phi(Al) = 4.08 \text{ eV}$, $\Phi(Cu) = 4.70 \text{ eV}$
- $\Delta V_{em,col} < 0 \Rightarrow \Delta U = -e\Delta V > 0 \Rightarrow$ electrones pierden $E_{kin} \Rightarrow I \downarrow$
- Energía cinética máxima electrones emitidos, K_{max} , corresponderá $\Delta V = V_s$ que haga $I = 0$ i.e. $K_{max} = e \cdot V_s$



Efecto fotoeléctrico : principio funcionamiento fotomultiplicador

- en analogia como estimulo nervio óptico \Rightarrow impulso nervioso
- fotoelectrón producido al estimular con luz un photocátodo, es acelerado por dinodos con efecto multiplicador dando origen a impulso eléctrico medible



Aplicaciones fotomultiplicadores : Superkamiokande

- GUTs predicen $p \rightarrow e^+ + \pi^0$ con $\pi^0 \rightarrow \gamma\gamma$ con $\tau_{th} = 10^{36}$ años
- Superkamiokande : 50.000 Toneladas agua pura, en cilindro $H = 40$ m y $2R = 35$ m cubiertos por 11.000 PMTs en mina Kamioka a 1100 m de profundidad
- $\tau_{exp} > 10^{34}$ años



- $K_{max} \propto I$
- Cualquier λ de la luz incidente es buena
- Tiempo de emisión del orden de segundos

Ejemplo: Un láser de helio-neón de intensidad 120 W/m^2 incide sobre una placa metálica de Na que puede emitir fotoelectrones si recibe al menos $\Phi = 2.3 \text{ eV}$ de energía. Si el electrón está confinado en un área de radio $r = 0.1 \text{ nm}$ cuánto tiempo necesitaría clásicamente esta placa de sodio para emitir fotoelectrones?

Sol:

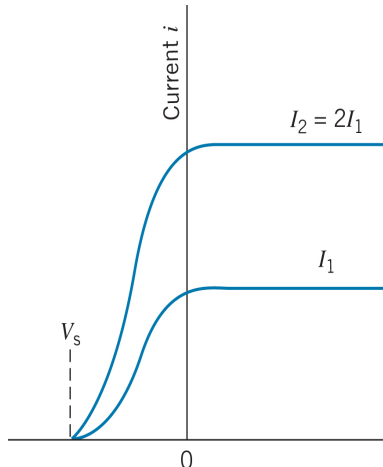
- Área confinamiento electrón: $A = \pi r^2 = 3.1 \times 10^{-20} \text{ m}^2$
- Energía absorbida electrón: $P_{ave} \cdot \Delta t = \Delta E$
- $\Delta t = \frac{\Delta E}{P_{ave}} = \frac{\Phi}{I \cdot A} = \frac{(2.3 \text{ eV})(1.6 \times 10^{-19} \text{ J/eV})}{(120 \text{ W/m}^2)(3.1 \times 10^{-20} \text{ m}^2)} = 0.10 \text{ s}$

:

Medidas experimentales efecto fotoeléctrico contradicen predicciones clásicas

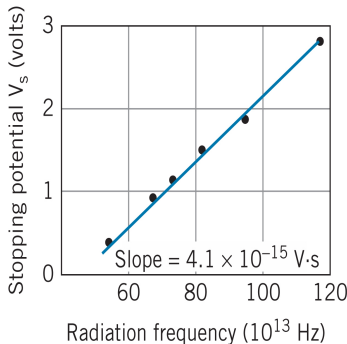
Los hechos experimentales sin embargo muestran

- $K_{max} \propto V_S$ no depende de la intensidad de la luz para un λ o ν dado
- \nexists fotoeléctrico por **debajo de una determinada** ν_c de la fuente (**o por encima de una** λ_c)
- Tiempo de emisión de fotoelectrones ocurre a 10^{-9} s



Teoría cuántica efecto fotoeléctrico

- Einstein en 1905 usa ideas de Planck para explicar correctamente e.f.
- Energía radiación e.m. no se distribuye uniformemente sobre frente ondas
- Antes bien se concentra en cuantos, fotones, de energía $E = h \cdot \nu = h \cdot c / \lambda$
- Fotones viajan a velocidad de la luz y su impulso es $p = E/c = h/\lambda$
- Deben tener masa en reposo nula, si no su energía y momento serían ∞
- Energía de un fotón es transmitida instantáneamente a un electrón
- Por tanto $K_{max} = h \cdot \nu - \Phi$ i.e. independiente intensidad luz
- Fotoelectrones no serán emitidos si $h\nu < \Phi$ por debajo de energía de enlace
- Robert Millikan midió (1915) K_{max} función $\nu \Rightarrow h = 6.57 \times 10^{-34} \text{ J.s}$



Ej. 1 : Determinar la energía y el momento de un fotón de longitud de onda 650 nm (luz roja)

Sol:

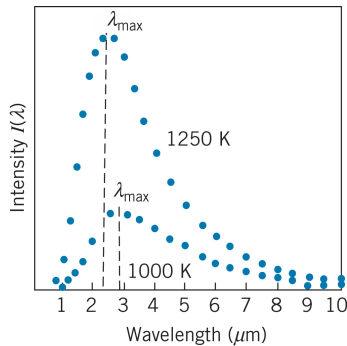
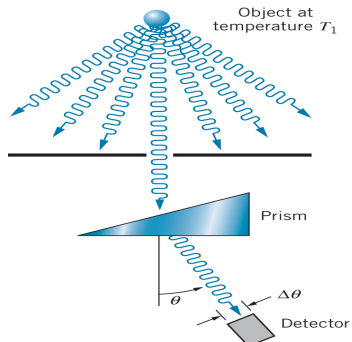
- $E = hc/\lambda = \frac{(6.63 \cdot 10^{-34} \text{ J.s})(3 \cdot 10^8 \text{ m/s})}{650 \cdot 10^{-9} \text{ m}} = 3.06 \cdot 10^{-19} \text{ J} = 1.91 \text{ eV}$
- $p = E/c = 1.91 \text{ eV}/c$

Ej. 2 : Si $\Phi(Tu) = 4.52 \text{ eV}$ determinar a) λ_c b) K_{max} para radiación de 198 nm y c) el potencial de frenado V_s .

Sol:

- $\lambda_c = hc/\Phi = \frac{1240 \text{ eV} \cdot \text{nm}}{4.52 \text{ eV}} = 274 \text{ nm}$
- $K_{max} = h\nu - \Phi = hc/\lambda - \Phi = \frac{1240 \text{ eV} \cdot \text{nm}}{198 \text{ nm}} - 4.52 \text{ eV} = 1.74 \text{ eV}$
- $V_s = \frac{K_{max}}{e} = \frac{1.74 \text{ eV}}{e} = 1.74 \text{ V}$

- Radiación térmica es la emitida por todos los cuerpos debida a su temperatura
- A temperatura ambiente esta radiación ocurre en la zona infrarroja del espectro i.e. no es visible ($\nu \sim 10^{13} \text{ Hz}$)
- Finales s. XIX muchos experimentos tenían como objetivo medir la intensidad de la radiación como función de λ véase fig. adjunta para dispositivo exp y resultados a $T = 1000 \text{ K}$ y 1250 K que indican a) área bajo la curva crece con T y b) $\lambda_{\max} \propto 1/T$.
- $[I] = W/m^2 = J/m^2/s$



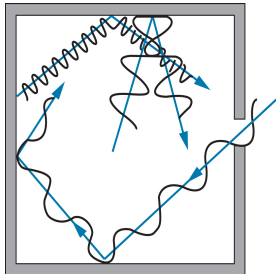
- Ley de Stefan: $I = \sigma T^4$ siendo $\sigma = 5.67 \cdot 10^{-8} W/m^2/K^4$ constante de Stefan-Boltzmann
- Ley de Wien : $\lambda_{max} \cdot T = 2.8978 \cdot 10^{-3} m \cdot K$ siendo λ_{max} la longitud de onda a la cual la intensidad alcanza un máximo

Ejemplo: Determinar la longitud de onda a la que un objeto a temperatura ambiente tiene su máximo de intensidad térmica. Determinar la temperatura a la que lo debemos calentar para que este pico de radiación ocurra en el rojo $\lambda_{rojo} = 650 nm$. Determinar la razón entre las intensidades de radiación emitidas a ambas temperaturas.

- $\lambda_{max} = \frac{2.8975 \times 10^{-3} m \cdot K}{293 K} = 9.89 \mu m$
- $T_2 = \frac{2.8975 \times 10^{-3} m \cdot K}{\lambda_{max}} = \frac{2.8975 \times 10^{-3} m \cdot K}{650 \times 10^{-9} m} = 4460 K$
- $\frac{I_2}{I_1} = \frac{\sigma T_2^4}{\sigma T_1^4} = \left(\frac{4460}{293}\right)^4 = 5.37 \times 10^4$

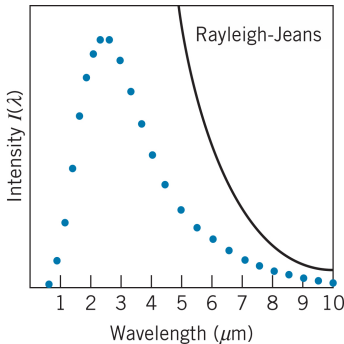
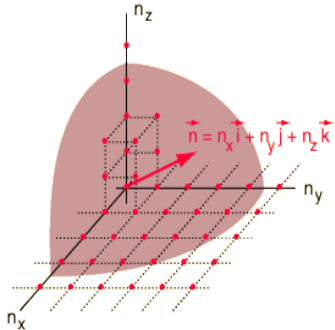
Radiación cuerpo negro: características

- Análisis radiación térmica cuerpo arbitrario muy complejo, depende de sus propiedades superficiales i.e. de sus propiedades de emisión y reflexión \Rightarrow
- Simplificación : cuerpo negro i.e. aquel absorbe toda radiación incidente y refleja ninguna $\Rightarrow \square \vec{E} = 0$
- Caso particular como en figura adjunta : caja metálica hueca con paredes en equilibrio térmico a T y con una apertura. Denotemos por $u(\lambda) \equiv$ densidad energía e.m. $[\lambda, \lambda + d\lambda]$ en la cavidad : $[u] = J/m^3$.
- La mitad de la radiación se mueve en dirección opuesta al agujero y la otra mitad se mueve en dirección a él pero a todos los ángulos, resultado :
 $I(\lambda) = \frac{1}{2}u(\lambda) \frac{\langle A \cdot \cos\theta \cdot c \cdot \cos\theta \rangle}{A} = \frac{c}{4}u(\lambda)$ = intensidad radiada
- Recordatorio : ondas estacionarias cuerda longitud L extremos fijos
 $\lambda = 2L/n \Rightarrow n_2 - n_1 = 2L(1/\lambda_2 - 1/\lambda_1) \Rightarrow dn = |dn/d\lambda|d\lambda = 2L \frac{d\lambda}{\lambda^2}$



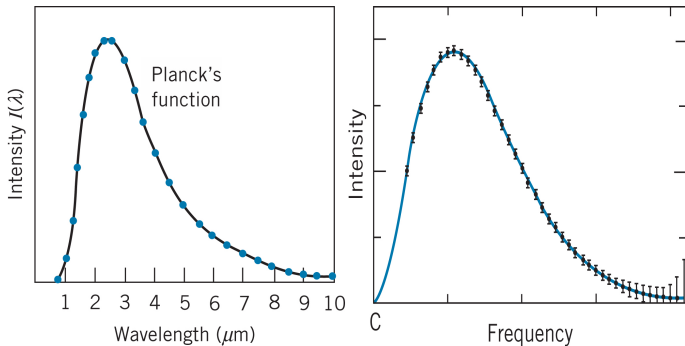
Radiación cuerpo negro: teoría clásica

- Caja está llena con ondas e.m. estacionarias, campo eléctrico nodal en paredes: $E = E_0 \sin \frac{n_1 \pi x}{L} \sin \frac{n_2 \pi y}{L} \sin \frac{n_3 \pi z}{L} \sin \frac{2\pi ct}{\lambda} \Rightarrow (n_1 \pi/L)^2 + (n_2 \pi/L)^2 + (n_3 \pi/L)^2 = (2\pi/\lambda)^2 \Rightarrow n_1^2 + n_2^2 + n_3^2 = 4L^2/\lambda^2$
- Número modos: $n(\lambda) = \frac{4\pi}{3} (n_1^2 + n_2^2 + n_3^2)^{\frac{3}{2}} \cdot \frac{1}{8} \text{oct} \cdot 2_{pol} = \frac{8\pi V}{3\lambda^3}$
- Número ondas estacionarias $[\lambda, \lambda + d\lambda]$: $N(\lambda)d\lambda = |dn/d\lambda|d\lambda = \frac{8\pi V}{\lambda^4} d\lambda$
- Cada onda individual contribuye $N(E) = \frac{N}{kT} e^{-E/kT}$ (**oscilador clásico**) \Rightarrow
- $\langle E \rangle = \frac{1}{N} \int_0^\infty EN(E)dE = (1/kT) \int_0^\infty Ee^{-E/kT} dE = kT$ si por partes
- Densidad de energía caja = $(\text{no. ondas/unidadV}) \times (\langle E \rangle_{\text{onda}})$
 $\Rightarrow u(\lambda)d\lambda = \frac{N(\lambda)d\lambda}{V} kT = \frac{8\pi}{\lambda^4} kT d\lambda$: ley de Rayleigh-Jeans
- $I(\lambda) = \frac{c}{4} u(\lambda) = \frac{2\pi c}{\lambda^4} kT$: catástrofe ultravioleta \equiv quiebra física clásica

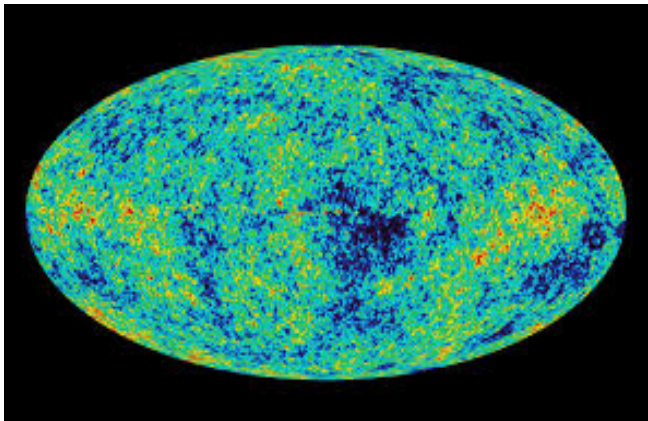


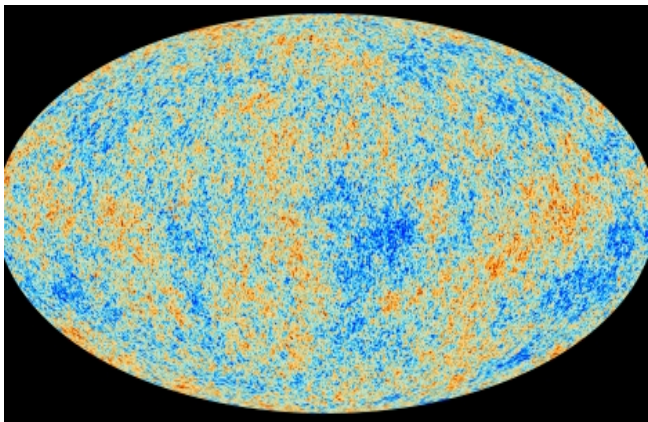
- Max Planck, 1900 considera que ondas estacionarias e.m. resultan de **oscilaciones atómicas** en paredes cavidad
- Átomos emiten o absorben energía en **cantidades discretas** :
 $E_n = n\epsilon = n \cdot h \cdot \nu$, $n=1,2,3..\Rightarrow$ supresión $\nu \uparrow$ i.e. $\lambda \downarrow$
- Número osciladores con energía E_n : $N_n = N(1 - e^{-\epsilon/kT})e^{-n\epsilon/kT}$
- Recordemos clásicamente i.e. Maxwell-Boltzmann : $N(E) = \frac{N}{kT} e^{-E/kT}$
- En efecto: utilizamos la identidad $\sum_0^{\infty} e^{nx} = \frac{1}{1-e^x} \Rightarrow \sum_0^{\infty} ne^{nx} = \frac{e^x}{(1-e^x)^2}$
- $\sum_0^{\infty} N_n = \sum_0^{\infty} A e^{-E_n/kT} = A \sum_0^{\infty} e^{-n\epsilon/kT} = \frac{A}{1-e^{-\epsilon/kT}} = N$
- $\langle E \rangle = \frac{1}{N} \sum_{n=0}^{\infty} N_n \cdot E_n = (1 - e^{-\epsilon/kT}) \sum_{n=0}^{\infty} n\epsilon e^{-n\epsilon/kT} \Rightarrow$
- $\langle E \rangle = (1 - e^{-\epsilon/kT}) \frac{\epsilon e^{-\epsilon/kT}}{(1-e^{-\epsilon/kT})^2} = \frac{\epsilon e^{-\epsilon/kT}}{(1-e^{-\epsilon/kT})} \Rightarrow$
- $\langle E \rangle = \frac{\epsilon}{(e^{\epsilon/kT}-1)} = \frac{h\nu}{(e^{h\nu/kT}-1)} \Rightarrow \langle E \rangle = kT, 0 \text{ si } \nu \rightarrow 0, \infty$
- $\langle E \rangle = \frac{\epsilon}{(e^{\epsilon/kT}-1)} = \frac{h\nu}{(e^{h\nu/kT}-1)} = \frac{hc/\lambda}{(e^{hc/\lambda kT}-1)}$
- $I(\lambda) = \frac{c}{4} u(\lambda) = \frac{c}{4} \left(\frac{8\pi}{\lambda^4} \right) \left[\frac{hc/\lambda}{(e^{hc/\lambda kT}-1)} \right]$
- $I(\lambda) = \frac{2\pi hc^2}{\lambda^5} \frac{1}{(e^{hc/\lambda kT}-1)}$

- Fórmula de Planck: $I(\lambda) = \frac{2\pi hc^2}{\lambda^5} \frac{1}{(e^{hc/\lambda kT} - 1)}$
- Ajusta perfectamente datos experimentales incluidos los de COBE para el CMB dando $T = 2.725 \text{ } ^\circ\text{K}$



WMAP : Wilkinson Microwave Anisotropy Probe





Ejemplo 1 : El Sol tiene una temperatura superficial de $6000\text{ }^{\circ}\text{K}$. Determinar la longitud de onda a la que el Sol tiene su pico de emisión.

Sol:

- De acuerdo con la ley de Wien $\lambda = \frac{2.898 \times 10^{-3} \text{ m } ^{\circ}\text{K}}{6000 \text{ }^{\circ}\text{K}} = 483 \text{ nm}$
- Esta longitud de onda se encuentra en el centro del espectro visible, en la zona de mayor sensibilidad del ojo humano

Ejemplo 2 : Si los datos del CMB se ajustan a la radiación de un cuerpo negro con $T = 2.7\text{ }^{\circ}\text{K}$, determinar la longitud de onda a la que ocurre el pico de esta radiación. Determinar la energía, en eV, de los fotones en este pico.

Sol.:

- De acuerdo con la ley de Wien $\lambda = \frac{2.898 \times 10^{-3} \text{ m } ^{\circ}\text{K}}{2.7 \text{ }^{\circ}\text{K}} = 1.1 \text{ mm}$ i.e. región de microondas
- $E = \frac{hc}{\lambda} = \frac{1240 \text{ eV} \cdot \text{nm}}{1.1 \text{ mm}} = 1.1 \times 10^{-3} \text{ eV.}$

- Ley de Planck \Rightarrow ley de Stefan

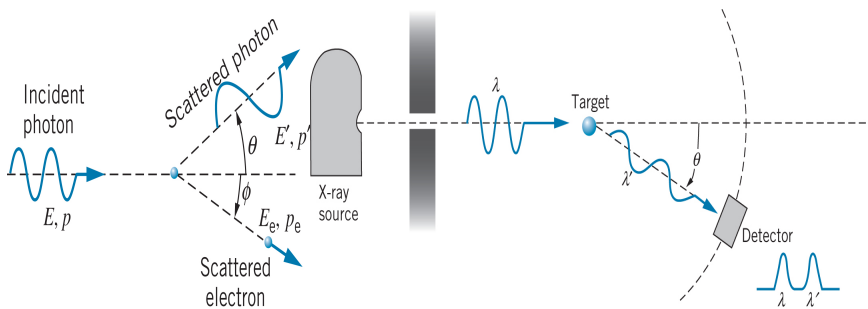
- $\int_0^\infty I(\lambda)d\lambda = \int_0^\infty \left[\frac{2\pi hc^2}{\lambda^5} \right] \frac{d\lambda}{(e^{hc/\lambda kT} - 1)}$
- Definamos $x = hc/\lambda kT$ con $dx = (-hc/\lambda^2 kT)d\lambda$
- $\int_0^\infty I(\lambda)d\lambda = 2\pi hc^2 \left(\frac{kT}{hc} \right)^3 \left(\frac{kT}{hc} \right) \int_0^\infty \frac{x^3 dx}{e^x - 1}$
- $\int_0^\infty I(\lambda)d\lambda = \frac{2\pi k^4}{h^3 c^2} T^4 \frac{\pi^4}{15} = \sigma \cdot T^4$
- $\sigma = \frac{2\pi^5 k^4}{15 h^3 c^2}$: ley de Stefan permite determinar h

- Ley de Planck \Rightarrow ley de Wien

- Para determinar λ_{max} necesito calcular $dI(\lambda)/d\lambda$
- $\frac{dI(\lambda)}{d\lambda} = 2\pi hc^2 \left[\left(\frac{-5}{\lambda^6} \right) \frac{1}{e^{hc/\lambda kT} - 1} + \left(\frac{1}{\lambda^5} \right) \frac{(-e^{hc/\lambda kT})(-hc/\lambda^2 kT)}{(e^{hc/\lambda kT} - 1)^2} \right]$
- $-\frac{5}{\lambda} + \frac{(e^{hc/\lambda kT})(hc/\lambda^2 kT)}{(e^{hc/\lambda kT} - 1)} = 0$
- $(x - 5)e^x + 5 = 0 \Rightarrow x = 4.9651 = hc/\lambda_{max} kT$
- $\lambda_{max} T = \frac{hc}{4.9651k}$: ley de Wien

Arthur Compton en 1923 realizó primeras medidas dispersión $\gamma e \rightarrow \gamma e$

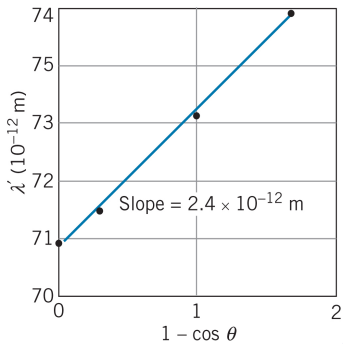
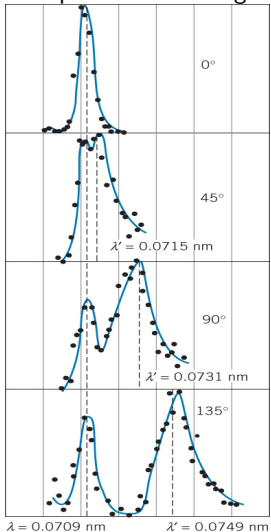
- $\lambda' - \lambda = \frac{h}{m_e c} (1 - \cos\theta)$
- $\frac{h}{m_e c} = 0.002426 \text{ nm} \sim 2.43 \times 10^{-12} \text{ m} \equiv \text{longitud onda Compton}$
- $\tan\phi = \frac{E' \sin\theta}{E - E' \cos\theta}$



Scattering Compton: continuación

Resultados experimentales muestran dos picos:

- Primer pico fijo \Leftrightarrow dispersión con núcleo o electrones capas internas, $\Delta E_\gamma \sim 0$
- Segundo pico varia con ángulo dispersión, pendiente es la predicha $h/m_e c$



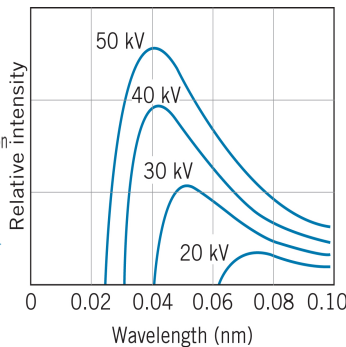
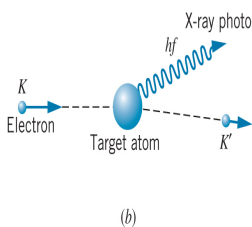
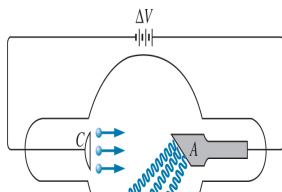
Rayos X de $\lambda = 0.24 \text{ nm}$ sufren dispersión Compton de modo que el haz dispersado es observado a un ángulo de $\pi/3$ con relación al incidente. Determinar la longitud de onda y la energía de los fotones dispersados, así como la energía cinética y el ángulo de dispersión de los electrones.

Sol.:

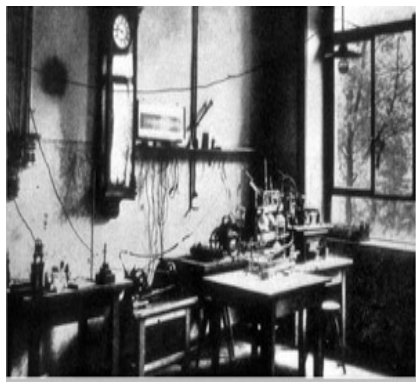
- $\lambda' = \lambda + \frac{h}{m_e c} (1 - \cos\theta) = \lambda + \frac{hc}{m_e c^2} (1 - \cos\theta) = 0.24 + \frac{1240 \text{ eV} \cdot \text{nm}}{511.000 \text{ eV}} (1 - 0.5) = 0.2412 \text{ nm}$
- $E' = \frac{hc}{\lambda'} = \frac{1240 \text{ eV} \cdot \text{nm}}{0.2412 \text{ nm}} = 5141 \text{ eV}$
- La energía del fotón incidente es
 $E = \frac{hc}{\lambda} = 5167 \text{ eV} \Rightarrow K = 5167 - 5141 = 26 \text{ eV}$
- $\phi = \tan^{-1} \frac{E' \sin\theta}{E - E' \cos\theta} = \tan^{-1} \frac{(5141 \text{ eV})(\sin \pi/3)}{(5167 \text{ eV}) - (5141 \text{ eV} \cdot \cos \pi/3)} = 59.7^\circ$

Radiación de frenado, Bremsstrahlung, y producción de rayos X

- Partículas cargadas aceleradas emiten radiación de frenado i.e. fotones
- Electrones emitidos en cátodo C recogidos en ánodo A
- Pérdida energía potencial $-e\Delta V \Leftrightarrow$ ganancia energía cinética $K = e\Delta V$
- Electrones se ven frenados colisiones átomos de A \Rightarrow emisión de fotones
- Máxima ν i.e. mínima λ : $h\nu_{max} = \frac{hc}{\lambda_{min}} = K = e\Delta V \Leftrightarrow \lambda_{min} = \frac{hc}{K} = \frac{hc}{e\Delta V}$
- Si $V \sim 10^4$ V $\Rightarrow \lambda_{min} \sim 0.1$ nm i.e. $\nu_{max} \sim 10^{18}$ Hz i.e. región Rayos X
- Bremsstrahlung:** $e \rightarrow e + \gamma$ **inverso de e.f.** $e + \gamma \rightarrow e$



- Wilhelm Konrad Roentgen, primer Premio Nobel de Fisica, cuya dotación donó a su Universidad
- No patentó su descubrimiento, según su famosa frase: Los rayos X deben ser libres
- Vista de su laboratorio, de la primera radiografia (la mano de su esposa Bertha) y de él mismo



- Máximos experimento doble rendija: $y_n = n \frac{\lambda D}{d}$, $n = 0, 1, 2, 3, \dots$
- Ley de Bragg difracción rayos X: $2dsin\theta = n\lambda$, $n = 1, 2, 3, \dots$
- Máxima energía cinética fotoelectrones: $K_{max} = eV_s = h\nu - \Phi$
- Frecuencia mínima (longitud de onda máxima) de la fuente en e.f. :
 $\nu_c = \frac{\Phi}{h}$; $\lambda_c = \frac{hc}{\Phi}$
- Ley de Stefan: $I = \sigma T^4$
- Ley de Wien : $\lambda_{max} T = 2.8978 \times 10^{-3} m \cdot {}^\circ K$
- Fórmula de Rayleigh-Jeans : $I(\lambda) = \frac{2\pi c}{\lambda^4} k T$
- Fórmula de Planck: $I(\lambda) = \frac{2\pi hc^2}{\lambda^5} \frac{1}{(e^{hc/\lambda kT} - 1)}$
- Scattering Compton: $\lambda' - \lambda = \frac{h}{m_e c} (1 - \cos \theta)$
- Bremsstrahlung: $\lambda_{min} = \frac{hc}{e\Delta V} = \frac{hc}{e\Delta V}$